

АКАДЕМИЯ НАУК СССР  
НАУЧНЫЙ ЦЕНТР БИОЛОГИЧЕСКИХ ИССЛЕДОВАНИЙ  
НАУЧНО-ИССЛЕДОВАТЕЛЬСКИЙ ВЫЧИСЛИТЕЛЬНЫЙ ЦЕНТР

ПРЕПРИНТ

С.А. АЗИЗОВ, А.М. МОЛЧАНОВ

ПРИМЕНЕНИЕ АСИМПТОТИЧЕСКИХ  
МЕТОДОВ ПРИ МАТЕМАТИЧЕСКОМ  
МОДЕЛИРОВАНИИ БОЛЬШИХ  
РЕКТИФИКАЦИОННЫХ КОЛОНН

ПУЩИНО

1974

АКАДЕМИЯ НАУК СССР  
НАУЧНЫЙ ЦЕНТР БИОЛОГИЧЕСКИХ ИССЛЕДОВАНИЙ  
НАУЧНО-ИССЛЕДОВАТЕЛЬСКИЙ ВЫЧИСЛИТЕЛЬНЫЙ ЦЕНТР

ПРЕПРИНТ

С.А. АЗИЗОВ, А.М. МОЛЧАНОВ

ПРИМЕНЕНИЕ АСИМПТОТИЧЕСКИХ  
МЕТОДОВ ПРИ МАТЕМАТИЧЕСКОМ  
МОДЕЛИРОВАНИИ БОЛЬШИХ  
РЕКТИФИКАЦИОННЫХ КОЛОНН

ПУЩИНО

1974

УДК. 621.391.66.048

Рассматриваются вопросы моделирования больших ректификационных колонн и обсуждаются трудности исследования и решения моделей, созданных по принципу "потарелочного моделирования". Показывается, что такие модели имеют неявно заданный малый параметр  $\delta = \frac{1}{n}$ , который возникает за счет большого числа тарелок. Применение теоремы Хинчина о сумматорных функциях позволяет этот малый параметр использовать для упрощения исходной модели. Предельный переход типа  $n \rightarrow \infty$  дает асимптотические модели характерных участков колонны. Численным экспериментом показано, что с увеличением числа тарелок поведение колонны приближается к асимптотическому. Показано также, что для получения более точных количественных результатов необходимо учесть влияние граничных условий и числа тарелок.

© Научный центр биологических исследований  
АН СССР в Пушкине, 1974.

Для моделирования тарельчатых ректификационных колонн в основном применяется принцип "потарельчного моделирования". Сущность такого подхода состоит в том, что для каждой тарелки пишется уравнение материального и теплового баланса в переходном режиме. Наиболее полная модель, построенная на таком принципе, приведена в работе /1/. В литературе используются также частные варианты такой модели, основанные на различных допущениях. Одно из таких допущений состоит в том, что гидродинамическое равновесие достигается гораздо быстрее, чем равновесие по массообмену. В этом случае модель тарельчатой колонны выглядит так:

$$\begin{aligned} \frac{dx_i}{dt} &= (\bar{L} + \sigma_i \bar{\Pi})(x_{i+1} - x_i) - \bar{K}(y_i^* - y_i) + \bar{\Pi} \sigma_i^* (x^n - x_i) \\ \varepsilon \frac{dy_i}{dt} &= \bar{V}(y_{i-1} - y_i) + \bar{K}(y_i^* - y_i) \\ y_i^* &= \frac{dx_i}{1 + (\alpha - 1)x_i}; \quad \varepsilon = \frac{ln}{l_{жс}}; \quad i = 1, \dots, n; \end{aligned} \quad (1)$$

$$\sigma_i = \begin{cases} 1, & \text{если } i \leq f - 1 \\ 0, & \text{если } i = f \end{cases} \quad \sigma_i^* = \begin{cases} 1, & \text{если } i = f \\ 0, & \text{если } i < f \end{cases}$$

$$\bar{L} = L/l_{жс}; \quad \bar{\Pi} = \Pi/l_{жс}; \quad \bar{V} = V/l_{жс}; \quad \bar{K} = K/l_{жс};$$

где  $L$  - скорость флегмового потока,  $\Pi$  - скорость питающего потока,  $V$  - скорость пара,  $K$  - коэффициент массопередачи,  $l_{жс}$  - количество жидкости на тарелке,  $l_n$  - количество пара на тарелке,  $\alpha$  - коэффициент относительной летучести,  $x^n$  - состав питающего потока,  $f$  - номер тарелки питания,  $x_i$  - концентрация легколетучего компонента в жидкой фазе  $i$ -ой тарелки,  $y_i$  - концентрация легколетучего компонента в паровой фазе  $i$ -й тарелки,  $\varepsilon$  - малый параметр (порядка  $10^{-3}$  для атмосферных колонн),  $n$  - число тарелок в колонне (порядка 100-350 для больших колонн).

Система (1) имеет несколько явно выраженных малых параметров, которые позволяют, совершая предельные переходы, упростить модель каждой тарелки. В этом смысле возможны следующие предельные переходы:  $\varepsilon \rightarrow 0$ ;  $K \rightarrow \infty$ , которые используются в работах /3-7/. В работе /2/ используется только  $\varepsilon \rightarrow 0$ . Рассмотрение стационарных режимов также связано с совершением предельного перехода  $\tau \rightarrow \infty$ . Как было отмечено выше, эти предельные переходы служат для упрощения модели каждой та-

релки. Однако, поскольку в системе (1) остается принцип "потарелочного моделирования", для больших колонн система (1) имеет довольно высокий порядок, что затрудняет теоретическое исследование, порой даже численное интегрирование системы. В этом случае в системе (1) появляется неявно выраженный малый параметр ( $\delta$ ), который возникает за счет большого числа тарелок:  $\delta \sim \frac{1}{n}$ .

В данной работе этот параметр используется для дальнейших упрощений исходной модели (1). Теоретической базой для такого подхода является теорема Хинчина о сумматорных функциях [8]. На основании общих идей Хинчина для исследуемой системы должна быть выбрана сумматорная функция  $H$ , характеризующая наиболее общие свойства системы. Для системы (1) таким показателем является общее количество легколетучего компонента в колонне:

$$E = l_{жс} \sum_{i=1}^n x_i + l_n \sum_{i=1}^n y_i. \quad (2)$$

Функция (2) является первым интегралом системы (1), если она замкнута, т.е.  $P=0$ ;  $D=0$ ;  $W=0$ , где  $D$  и  $W$  - скорости продуктов, отбираемых на дефлегматоре и кубе. Очевидно, что для незамкнутой системы при  $n \rightarrow \infty$  функция (2) также будет первым интегралом. Поэтому в качестве функции  $H$  выбираем сумматорные функции, образующие первый интеграл (2) при  $n \rightarrow \infty$ :

$$\begin{aligned} H_1 &= \sum_{i=1}^n x_i, \\ H_2 &= \sum_{i=1}^n y_i. \end{aligned} \quad (3)$$

Функции (3) могут быть выбраны как для полной колонны, так и для отдельных секций. Определим поведения функций (3) для укрепляющей секции:

$$\begin{aligned} \frac{d\bar{H}_1}{d\tau} &= \frac{1}{n_1} \bar{L}(x_D - x_{f+1}) - \frac{\bar{K}}{n_1} \sum_{i=f+1}^n (y_i^* - y_i) \\ \varepsilon \frac{d\bar{H}_2}{d\tau} &= \frac{1}{n_1} \bar{V}(y_f - y_n) + \frac{\bar{K}}{n_1} \sum_{i=f+1}^n (y_i^* - y_i) \\ \bar{H}_1 &= \frac{1}{n_1} \sum_{i=f+1}^n x_i; \quad \bar{H}_2 = \frac{1}{n_1} \sum_{i=f+1}^n y_i, \end{aligned} \quad (4)$$

где  $n_1 = (n-f)$  - число тарелок в укрепляющей секции. Применяя к правой части уравнений (4) теорему Хинчина, получим следующую систему:

$$\begin{aligned} \frac{d\bar{x}}{d\tau} &= \frac{1}{n_1} \bar{L}(x_D - \bar{x}) - \bar{K}(\bar{y}^* - \bar{y}) \\ \varepsilon \frac{d\bar{y}}{d\tau} &= \frac{1}{n_1} \bar{V}(y_f - \bar{y}) + \bar{K}(\bar{y}^* - \bar{y}) \end{aligned} \quad (5)$$

$$\bar{x} = \frac{1}{n_1} \sum_{i=1}^n x_i = \frac{\int_0^1 x e^{-\beta_1 x} dx}{\int_0^1 e^{-\beta_1 x} dx}$$

$$\bar{y} = \frac{1}{n_1} \sum_{i=1}^n y_i = \frac{\int_0^1 y e^{-\beta_2 y} dy}{\int_0^1 e^{-\beta_2 y} dy}$$
(5)

$$\bar{y}^* = \frac{\int_0^1 \frac{\alpha x}{1 + (\alpha - 1)x} e^{-\beta_1 x} dx}{\int_0^1 e^{-\beta_1 x} dx}.$$

Для исчерпывающей секции уравнение (5) выглядит так:

$$\frac{d\bar{x}}{d\tau} = \frac{1}{n_2} (\bar{l} + \bar{\pi}) (x_f - \bar{x}) - \bar{\kappa} (\bar{y}^* - \bar{y})$$

$$\varepsilon \frac{d\bar{y}}{d\tau} = \frac{1}{n_2} \bar{v} (y_0 - \bar{y}) + \bar{\kappa} (\bar{y}^* - \bar{y})$$
(6)

$$\bar{x} = \frac{1}{n_2} \sum_{i=1}^{f-1} x_i; \quad \bar{y} = \frac{1}{n_2} \sum_{i=1}^{f-1} y_i.$$

Второй член в правой части систем (5) и (6) был получен на основании предельного перехода  $n \rightarrow \infty$ . При этом, поскольку первый член имеет коэффициент  $\frac{1}{n}$ , он обращается в нуль. Тогда системы (5) и (6) превращаются в одну систему:

$$\frac{d\bar{x}}{d\tau} = -\bar{\kappa} (\bar{y}^* - \bar{y})$$

$$\varepsilon \frac{d\bar{y}}{d\tau} = \bar{\kappa} (\bar{y}^* - \bar{y}).$$
(7)

Система (7) имеет первый интеграл, равный:

$$\mathcal{J} = \ell_{\kappa} \bar{x} + \ell_n \bar{y}.$$
(8)

Из этого следует, что при  $n \rightarrow \infty$  легколетучий компонент со средним количеством  $\mathcal{J}$  сохраняется постоянным в колонне. Значение  $\mathcal{J}$  вычисляется по начальным данным следующим образом:

$$\mathcal{J} = \frac{\ell_{\text{жс}}}{n} \sum_{i=1}^n x_i(0) + \frac{\ell_n}{n} \sum_{i=1}^n y_i(0). \quad (9)$$

Из системы (7) ясно, что она одинакова как для полной колонны, так и для отдельных секций. Для выяснения области применения системы (7) была решена система (1) для различного числа тарелок. В результате решения было выяснено поведение переменного  $\mathcal{J}$  для полной колонны, а также для укрепляющей секции, и результаты были сравнены с поведением  $\mathcal{J}$  при  $n \rightarrow \infty$ . Были выбраны одинаковые начальные данные для всех тарелок, равные 0,5. Результаты исследования представлены на рис. 1. Сравнение кривых показывает, что для полной колонны с увеличением числа тарелок поведение  $\mathcal{J}$  приближается к асимптотической линии (1) и остается постоянным по времени. Однако для укрепляющей секции заданное количество легколетучего компонента не остается постоянным и увеличивается с течением времени (ясно, что для исчерпывающей секции оно будет уменьшаться). Даже поведение  $\mathcal{J}$  для укрепляющей секции при  $n_1 = 50$  (кривая 4) заметно отличается от поведения  $\mathcal{J}$  для полной колонны при  $n = 30$  (кривая 3). Таким образом, можно сделать вывод, что система (7) описывает поведение глобальных переменных  $\bar{x}$  и  $\bar{y}$  для полной колонны при больших  $n$ .

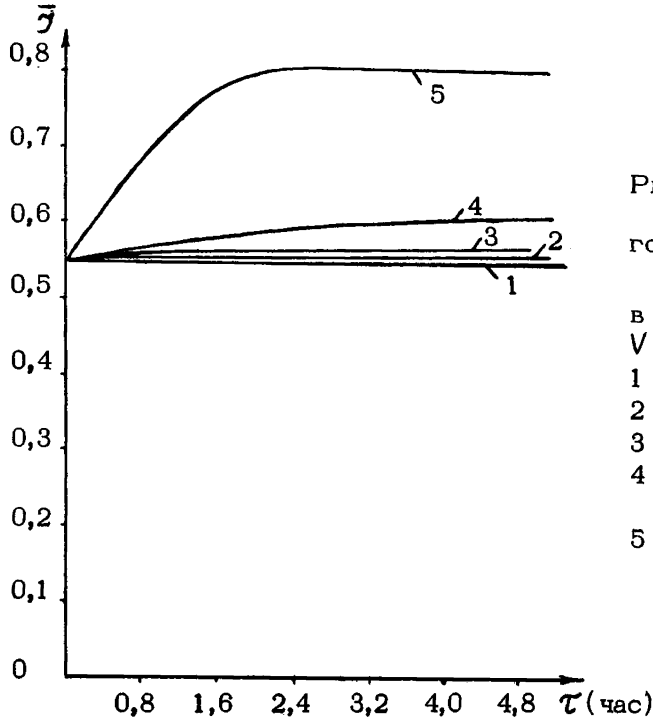


Рис. 1. Сравнение изменения легколетучего компонента ( $\bar{J} = \frac{1}{n} (\sum_{i=1}^n x_i + \mathcal{E} \sum_{i=1}^n y_i)$ )

в колонне ( $N = 10000$ ;  $x^n = 0,5$ ;  $L = 8680$ ;  $V = 13780$ ;  $K = 14300$ ;  $\ell_{\text{жс}} = 200$ ;  $\ell_n = 20$ ).  
 1 — асимптотическая линия при  $n \rightarrow \infty$ ,  
 2 — для полной колонны ( $n = 100$ ;  $\alpha = 1,8$ ),  
 3 — для полной колонны ( $n = 30$ ;  $\alpha = 2,46$ ),  
 4 — для укрепляющей секции ( $n = 100$ ;  $n_1 = 50$ ;  $\alpha = 1,8$ ),  
 5 — для укрепляющей секции ( $n = 30$ ;  $n_1 = 15$ ;  $\alpha = 2,46$ ).

Эти переменные в пространстве переменных выделяют поверхности, на которых осуществляется осреднение поведения тарелок колонны. Поведение отдельных тарелок на этой поверхности может быть определено при помощи расщепленной системы. Суть расщепления состоит в том, что в модели каждой тарелки переменные соседних тарелок осредняются на пересечении поверхностей  $\bar{x}$  и  $\bar{y}$ . Выбирая функции  $H$  для отдельных секций колонны, напишем асимптотические модели наиболее характерных участков колонны.

Асимптотическая модель верхней части колонны:

$$\begin{aligned}
 \frac{dx_{20}}{d\tau} &= (V/l_{20})(y_n - x_{20}) \\
 \frac{dx_n}{d\tau} &= \bar{L}(x_{20} - x_n) - \bar{K}(y_n^* - y_n) \\
 \varepsilon \frac{dy_n}{d\tau} &= \bar{V}(y_{n-1} - y_n) + \bar{K}(y_n^* - y_n) \\
 \frac{d\bar{x}}{d\tau} &= -\bar{K}(\bar{y}^* - \bar{y}) \\
 \varepsilon \frac{d\bar{y}}{d\tau} &= \bar{K}(\bar{y}^* - \bar{y}) \\
 y_{n-1} &= \bar{y}.
 \end{aligned} \tag{10}$$

Начальные данные для переменных  $\bar{x}$  и  $\bar{y}$  определяются следующим образом:

$$\begin{aligned}
 \bar{y}(0) &= y_{n-1}(0) \\
 \bar{x}(0) &= \frac{\mathcal{I} - l_n \bar{y}(0)}{l_m},
 \end{aligned}$$

где

$$\begin{aligned}
 \mathcal{I} &= l_m \bar{x}(\infty) + l_n \bar{y}(\infty), \quad \bar{y}(\infty) = y_{n-1}(\infty), \\
 \bar{x}(\infty) &\text{ вычисляется из формулы } \bar{y}^*(\infty) = \bar{y}(\infty).
 \end{aligned}$$

Асимптотическая модель тарелки питания:

$$\begin{aligned}
 \frac{dx_i}{d\tau} &= (\bar{L} + \varepsilon_i \bar{\Pi})(x_{i+1} - x_i) - \bar{K}(y_i^* - y_i) + \bar{\Pi} \varepsilon_i^* (x^n - x_i) \\
 \varepsilon \frac{dy_i}{d\tau} &= \bar{V}(y_{i-1} - y_i) + \bar{K}(y_i^* - y_i) \\
 \frac{d\bar{x}}{d\tau} &= -\bar{K}(\bar{y}^* - \bar{y}) \\
 \varepsilon \frac{d\bar{y}}{d\tau} &= \bar{K}(\bar{y}^* - \bar{y}) \\
 \frac{d\bar{x}}{d\tau} &= -\bar{K}(\bar{y}^* - \bar{y}) \\
 \varepsilon \frac{d\bar{y}}{d\tau} &= \bar{K}(\bar{y}^* - \bar{y}) \\
 x_{i+2} &= \bar{x} \\
 y_{i-2} &= \bar{y} \\
 i &= f-1, f, f+1. \\
 \bar{x}(0) &= \frac{\mathcal{I}_2 - l_n \bar{y}(0)}{l_m}
 \end{aligned} \tag{11}$$



$$\begin{aligned}
\mathcal{I}_2 &= l_{mc} \bar{x}(\infty) + l_n \bar{y}(\infty) \\
\bar{y}(0) &= y_{i-2}(0) \\
\bar{x}(0) &= x_{i+2}(0) \\
\bar{y}(0) &= \frac{\mathcal{I}_1 - l_{mc} \bar{x}(0)}{l_n} \\
\mathcal{I}_1 &= l_{mc} \bar{x}(\infty) + l_n \bar{y}(\infty).
\end{aligned} \tag{11}$$

Асимптотическая модель нижней части колонны:

$$\begin{aligned}
\frac{dx_1}{d\tau} &= (\bar{L} + \bar{\Pi})(x_2 - x_1) - \bar{K}(y_1^* - y_1) \\
\varepsilon \frac{dy_1}{d\tau} &= \bar{V}(y_0 - y_1) + \bar{K}(y_1^* - y_1) \\
\frac{dx_0}{d\tau} &= \left(\frac{L+\Pi}{l_0}\right)x_1 - \left(\frac{W}{l_0}\right)x_0 - \left(\frac{V}{l_0}\right)y_0^* \\
\frac{d\bar{x}}{d\tau} &= -\bar{K}(\bar{y}^* - \bar{y}) \\
\varepsilon \frac{d\bar{y}}{d\tau} &= \kappa(\bar{y}^* - \bar{y}) \\
x_2 &= \bar{x}; \quad y_0 = y_0^* \\
\bar{x}(0) &= x_2(0) \\
\bar{y}(0) &= \frac{\mathcal{I} - l_{mc} \bar{x}(0)}{l_n} \\
\mathcal{I} &= l_{mc} \bar{x}(\infty) + l_n \bar{y}(\infty).
\end{aligned} \tag{12}$$

Из полученных асимптотических моделей ясно, что при  $n \rightarrow \infty$  исходная модель (1) распадается на отдельные подсистемы, которые имеют довольно низкий порядок и решаются самостоятельно. Это показывает, что с увеличением числа тарелок в колонне связь между крайними участками колонны ослабляется, а при  $n \rightarrow \infty$  вообще прекращается. Для получения более точных количественных результатов при конечном  $n$  эти связи должны быть учтены. Для этого в асимптотических моделях вместо системы (7) должны быть использованы системы (5) или (6), в которых учитывается заданное количество тарелок и влияние граничных условий (переменные дефлегматора, тарелки питания и куба). Численные расчеты показывают, что с учетом граничных условий даже при не очень больших  $n$  для функций  $H$  получаются достаточно хорошие приближения (рис. 2). Очевидно, что с увеличением  $n$  получится еще более точное приближение.

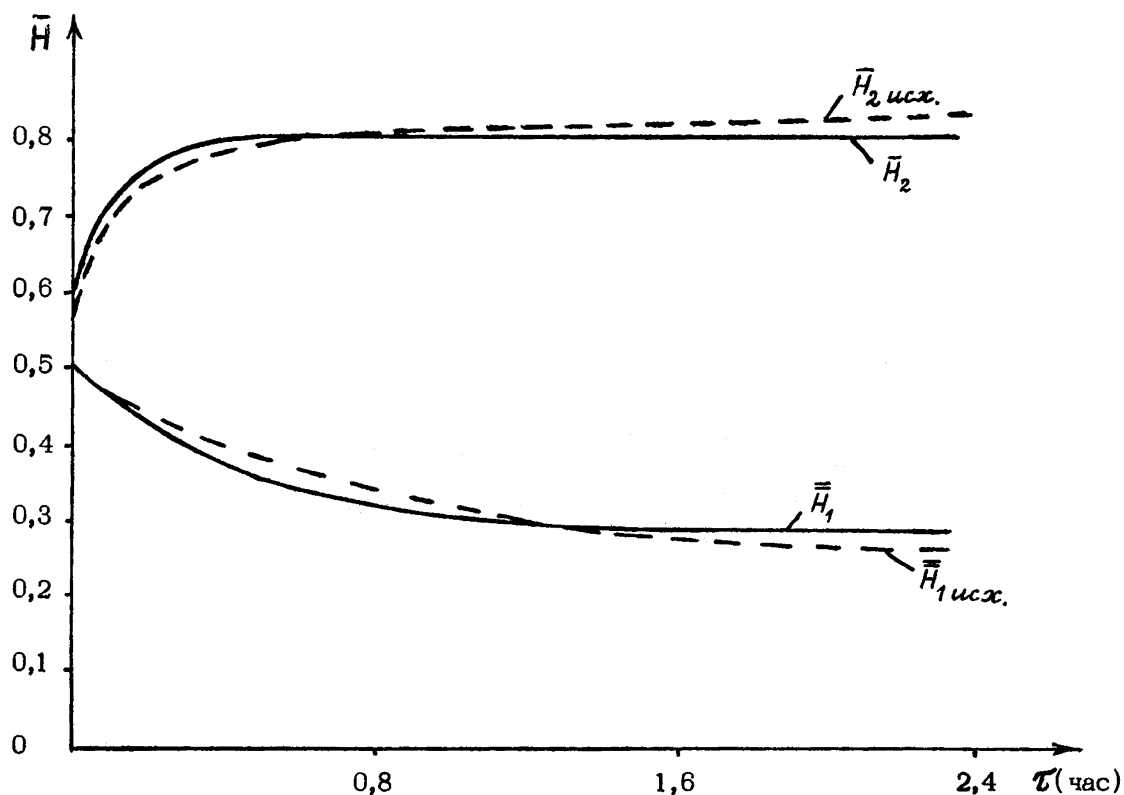


Рис. 2. Сравнение поведений функции  $\bar{H}$  для укрепляющей и истощающей секции с учетом граничных условий ( $N=10000$ ;  $x^n=0,5$ ;  $L=8680$ ;  $V=13780$ ;  $K=14300$ ;  $\ell_{жс}=200$ ;  $\ell_n=20$ ;  $n=30$ ;  $f=15$ ;  $\alpha=2,46$ ).

Таким образом, большое число тарелок осложняет исходную модель (1). Но с другой стороны предельный переход  $n \rightarrow \infty$  дает возможность применить асимптотические методы и получить более простые системы. Эти системы не только качественно отражают поведение исходной модели, но с учетом граничных условий позволяют получить более точные количественные результаты.

В заключение выражаем глубокую благодарность З.А.Искендер-заде и Н.С.Али-заде, принимавшим активное участие при обсуждении результатов, и М.А.Топчибашеву за оказанное внимание и поддержку в работе.

#### ЛИТЕРАТУРА

1. Али-заде Н.С., Атакишиева М.К., Искендер-заде З.А. Материалы II-го Всесоюзного симпозиума "Проблемы системотехники", 7-9 июня 1972 г. Изд-во "Судостроение", 1972, стр. 5.
2. Анисимов И.В. Труды II-го Международного конгресса ИФАК, т.1У. М., "Наука", 1965, стр. 265.
3. Burman L.K., Maddox R.N., Process design and development, 8, 4 433 (1969).
4. Кембелл Д.П. Динамика процессов химической технологии. М., изд-во ГХИ, 1962.
5. Изава К., Моринга Т. Труды II-го Международного конгресса ИФАК, т.1У. М., "Наука", 1965, стр. 293.
6. Rosenbrock H.H., Trans. Inst. Engr., 38 (1960).
7. Чарльз Д., Холланд. Многокомпонентная ректификация. М., изд-во "Химия", 1969.
8. Молчанов А.М. Об одной теореме А.Я.Хинчина (препринт). ИПМ АН СССР, М., 1968.

С.А.Азизов, А.М.Молчанов

ПРИМЕНЕНИЕ АСИМПТОТИЧЕСКИХ МЕТОДОВ ПРИ МАТЕМАТИЧЕСКОМ  
МОДЕЛИРОВАНИИ БОЛЬШИХ РЕКТИФИКАЦИОННЫХ КОЛОНН

Отредактировано и подготовлено к печати  
в Отделе научно-технической информации

Редактор Е.С.Бражникова

---

Т-18781      Подписано в печать 12/Х1-1974 г.      Уч.-изд. л. 1.0  
Тираж 150 экз.      Заказ 2161 Р.

---

Отпечатано на ротапринте в ОНТИ Научного центра биологических исследований  
АН СССР в Пушкине.